

Variationen modulo 4_4+ , $4_+3_34_-$, 4_5+ , $5_44_54_4+$ bei Seltenerdcarbidhalogeniden

Variations modulo 4_4+ , $4_+3_34_-$, 4_5+ , $5_44_54_4+$ with Rare Earth Carbide Halides

Hansjürgen Mattausch^{*[a]} und Arndt Simon^[a]

Professor Hanskarl Müller-Buschbaum zum 80. Geburtstag gewidmet

Keywords: Cerium; Praseodymium; Carbides; Halides; Cluster compounds

Abstract. The new compounds $\text{Pr}_8(\text{C}_2)_4\text{Cl}_5$ (1), $\text{Pr}_{14}(\text{C}_2)_7\text{Cl}_9$ (2), $\text{Pr}_{22}(\text{C}_2)_{11}\text{Cl}_{14}$ (3), $\text{Ce}_2(\text{C}_2)\text{Cl}$ (4), $\text{La}_2(\text{C}_2)\text{Br}$ (5), $\text{Ce}_2(\text{C}_2)\text{Br}$ (6), $\text{Pr}_2(\text{C}_2)\text{Br}$ (7), $\text{Ce}_{18}(\text{C}_2)_9\text{Cl}_{11}$ (8), and $\text{Ce}_{26}(\text{C}_2)_{13}\text{Cl}_{16}$ (9) were prepared by heating mixtures of LnX_3 , Ln and carbon or in an alternatively way LnX_3 , and " $\text{Ln}_2\text{C}_{3-x}$ " in appropriate amounts for several days between 750 and 1200 °C. The crystal structures were investigated by X-ray powder analysis (5–7) and/or single crystal diffraction (1–4, 8, 9). $\text{Pr}_8(\text{C}_2)_4\text{Cl}_5$ crystallizes in space group $P2_1/c$ with the lattice parameters $a = 7.6169(12)$, $b = 16.689(2)$, $c = 6.7688(2)$ Å, $\beta = 103.94(1)$ °, $\text{Pr}_{14}(\text{C}_2)_7\text{Cl}_9$ in Pc with $a = 7.6134(15)$, $b = 29.432(6)$, $c = 6.7705(14)$ Å, $\beta = 104.00(3)$ °, $\text{Pr}_{22}(\text{C}_2)_{11}\text{Cl}_{14}$ in $P2_1/c$ with $a = 7.612(2)$, $b = 46.127(9)$, $c = 6.761(1)$ Å, $\beta = 103.92(3)$ °, $\text{Ce}_2(\text{C}_2)_2\text{Cl}$ in $C2/c$ with $a = 14.573(3)$, $b = 4.129(1)$, $c = 6.696(1)$ Å, $\beta = 101.37(3)$ °, $\text{La}_2(\text{C}_2)_2\text{Br}$ in $C2/c$ with $a = 15.313(5)$, $b = 4.193(2)$, $c = 6.842(2)$ Å,

$\beta = 100.53(3)$ °, $\text{Ce}_2(\text{C}_2)_2\text{Br}$ in $C2/c$ with $a = 15.120(3)$, $b = 4.179(1)$, $c = 6.743(2)$ Å, $\beta = 101.09(3)$ °, $\text{Pr}_2(\text{C}_2)_2\text{Br}$ in $C2/c$ with $a = 15.054(5)$, $b = 4.139(1)$, $c = 6.713(3)$ Å, $\beta = 101.08(3)$ °, $\text{Ce}_{18}(\text{C}_2)_9\text{Cl}_{11}$ in $P\bar{1}$ with $a = 6.7705(14)$, $b = 7.6573(15)$, $c = 18.980(4)$ Å, $\alpha = 88.90(3)$ °, $\beta = 80.32(3)$ °, $\gamma = 76.09(3)$ °, and $\text{Ce}_{26}(\text{C}_2)_{13}\text{Cl}_{16}$ in $P2_1/c$ with $a = 7.6644(15)$, $b = 54.249(11)$, $c = 6.7956(14)$ Å, $\beta = 103.98(3)$ °. The crystal structures are composed of Ln octahedra centered by C_2 dumbbells. Such $\text{Ln}_6(\text{C}_2)$ -octahedra are condensed into chains which are joined into undulated sheets. In compounds 1–4 three and four up and down inclined ribbons alternate (4_4+ , $4_+3_34_-$, $4_+4_34_4_3-$), in compounds 8 and 9 four and five (4_5+ , $5_44_54_4+$), and in compounds 4–7 one, one ribbons (1_1-) are present. The $\text{Ln}-(\text{C}_2)-\text{Ln}$ layers are separated by monolayers of X atoms.

Einleitung

Verbindungen aus Seltenerdmetall (Ln), Kohlenstoff und Halogen (X) kristallisieren im Bereich $2.0 \leq \text{Ln}/X \leq 1.0$ als Schichtstrukturen. Die Selterdmetallatome bilden Doppelschichten, deren Oktaederlücken durch Carbid- (C_2^{4-}), Ethenid- (C_2^{4-}) oder Ethanid-Anionen (C_2^{6-}) besetzt sind.^[1–4] Zwischen den Schichtpaketen $\text{Ln}-\text{C}_x-\text{Ln}$ befinden sich Einfach- bzw. Doppelschichten aus Halogenatomen. Für Zusammensetzungen $\text{Ln} / X = 2.0$ und $\text{Ln} / X = 1.0$ sind die Schichten eben, im Bereich dazwischen gewinkelt^[5,6] bzw. gewellt.^[7] Für letztere seien die Verbindungen der Serie $(\text{La}_6(\text{C}_2)_3\text{Cl}_4)_m(\text{La}_8(\text{C}_2)_4\text{Cl}_5)_n$ angeführt: $\text{La}_6(\text{C}_2)_3\text{Cl}_4$ ($m = 1, n = 0$), $\text{La}_8(\text{C}_2)_4\text{Cl}_5$ ($m = 0, n = 1$), $\text{La}_{14}(\text{C}_2)_7\text{Cl}_9$ ($m = 2, n = 2$), $\text{La}_{20}(\text{C}_2)_{10}\text{Cl}_{17}$ ($m = 4, n = 2$), $\text{La}_{22}(\text{C}_2)_{11}\text{Cl}_{14}$ ($m = 2, n = 4$) und $\text{La}_{36}(\text{C}_2)_{18}\text{Cl}_{23}$ ($m = 4, n = 6$).^[7] Es sind jeweils drei und/oder vier Oktaederstränge zu Bändern verknüpft, die mit alternierender Neigung (positive Steigung +, negative -) weiter zu Schichten verbunden sind.

Stukturvariationen unterschiedlicher Wellenlänge und Verknüpfung sind denkbar.^[7]

Wir berichten über Darstellung und röntgenographische Charakterisierung der vom System $\text{La}-\text{C}-\text{Cl}$ ^[7] bekannten isotypen Verbindungen $\text{Pr}_8(\text{C}_2)_4\text{Cl}_5$, $\text{Pr}_{14}(\text{C}_2)_7\text{Cl}_9$, $\text{Pr}_{22}(\text{C}_2)_{11}\text{Cl}_{14}$, $\text{Ce}_2(\text{C}_2)\text{Cl}$, $\text{La}_2(\text{C}_2)\text{Br}$, $\text{Ce}_2(\text{C}_2)\text{Br}$, $\text{Pr}_2(\text{C}_2)\text{Br}$, mit 4_4+ , $4_+3_34_-$, $4_+4_34_4_3-$ bzw. 1_1- -Wellen. Zudem fanden wir die Verbindungen $\text{Ce}_{18}(\text{C}_2)_9\text{Cl}_{11}$ und $\text{Ce}_{26}(\text{C}_2)_{13}\text{Cl}_{16}$ mit bisher nicht bekannter Modulation 4_5+ und $5_44_54_4+$.

Experimenteller Teil

Ausgangsstoffe und Präparation

Zur Präparation wurden zwei Routen verfolgt (1, 2, s. u.). Als Ausgangsstoffe dienten sublimiertes Seltenerdmetall Ln (99.99%; Fa. Alfa – A. Johnson Matthey Company), mechanisch zerkleinert, Graphitpulver (reinst; Fa. Aldrich), im Hochvakuum bei 1075 °C / 24 h ausgeheizt, LnX_3 (LaX_3 aus La_2O_3 , CeX_3 (Cer Metall in HX gelöst) und PrX_3 aus Pr_6O_{11} nach der Ammoniumhalogenidmethode dargestellt^[8] und in Tantalgefäß^[9] destilliert) und " $\text{Ln}_2\text{C}_{3-x}$ ", dargestellt durch mehrmaliges Aufschmelzen von Tabletten aus Ln -Metall und Kohlenstoff unter Argon im Lichtbogen, homogenisiert durch nachfolgendes Temperiern bei 1100 °C / 3 d. " $\text{Ln}_2\text{C}_{3-x}$ " ist ein Gemenge

* Dr. H.J. Mattausch
E-Mail: H.J.Mattausch@fkf.mpg.de

[a] Max-Planck-Institut für Festkörperforschung
Heisenbergstraße 1
70569 Stuttgart, Germany

von Ln_2C_3 und feinverteiltem Metall ($0.47 < x < 0.49$).^[10] Sämtliche Edukte und Produkte wurden unter Argon in Schlenk-Gefäßen aufbewahrt und im Handschuhkasten (Fa. M. Braun) gehandhabt. Die Reaktionen erfolgten in Tantalkapseln, die unter Argon gasdicht zugeschweißt und zum Schutz gegen Oxidation in Ampullen aus Kieselglas eingeschmolzen waren.

(1) LnX_3 wurde mit Ln -Metall und Kohlenstoff durch Temperiern der angegebenen Mengen (insgesamt ca. 1 g) umgesetzt. $LnX_3 / Ln / C : 1 / 5 / 6$: $Ce_2(C_2)Cl$ (1180 °C / 2d) röntgenrein, $La_2(C_2)Br$ (1200 °C / 6d) röntgenrein, $Ce_2(C_2)Br$ (1170 °C / 40d) röntgenrein, $Pr_2(C_2)Br$ (1200 °C / 13d) ca. 20 % Anteil; Nebenprodukte: $Pr_3(C_2)Br_3$, $Pr_{10}(C_2)_6Br_6$; bei der Ausgangszusammensetzung 5 / 19 / 24 entstehen $Pr_8(C_2)4Cl_5$ (1080 °C / 3d,) ca. 90 % Anteil und $Ce_8(C_2)4Cl_5$ (1080 °C / 3d) röntgenrein; bei 3 / 11 / 14: $Pr_{14}(C_2)_7Cl_9$ (1030 °C / 14d) ca. 50 % Anteil, Nebenprodukte: $Pr_{22}(C_2)_{11}Cl_{14}$ (ausgelesene Einkristalle) und Pr_2CCl . Im System Ce–C–Cl wurden bei Mischungen 3 / 11 / 14 oder 5 / 19 / 24 (1060°/1080 °C / 7d) neben $Ce_{18}(C_2)_9Cl_{11}$ Einkristalle von $Ce_{26}(C_2)_{13}Cl_{16}$ gefunden.

(2) $CeCl_3$ und “ Ce_2C_{3-x} ” wurden zu Pillen gepresst und getempert (insgesamt ca. 1 g). $CeCl_3 / Ce_2C_{3-x}$: 11 / 43: $Ce_{18}(C_2)_9Cl_{11}$, ($x = 0.49$, 750 °C, 1070 °C / 1d; röntgenrein), 8 / 31: $Ce_{26}(C_2)_{13}Cl_{16}$ ($x = 0.48$, 750 °C, 1080 °C / 1d; röntgenrein).

Nach (2) konnten gegenüber (1) bereits nach kurzer Reaktionszeit einphasige Proben dargestellt werden. Die Verbindungen bilden golden glänzende Kristalle, die gegenüber Feuchtigkeit empfindlich sind. An Luft hydrolysern die Proben innerhalb von Sekunden.

Röntgendiffraktometrie

Röntgenpulverdiagramme wurden in modifizierter Guinier-Anordnung^[11] (Imaging plates, Fuji BAS-5000) mit $Cu-K_{\alpha 1}$ -Strahlung aufgenommen (Silicium als Standard). Zur Bestimmung der Gitterparameter wurden Pulverproben unter Argon in Glaskapillaren eingeschmolzen und auf einem Pulverdiffraktometer *Stoe STADI P* mit $Mo-K_{\alpha 1}$ gemessen. Wegen der außerordentlichen Ähnlichkeit der Kristallstrukturen konnten zur Phasenanalyse Pulverdiagramme nur beschränkt herangezogen werden. Durch wenige eindeutig indizierbare Reflexe $h \ k \ l$ bei charakteristischen Beugungswinkel d konnten die einzelnen Verbindungen jedoch zweifelsfrei zugeordnet werden: $Ce_8(C_2)4Cl_5$: 0 3 1, $d = 4.25 \text{ \AA}$, 1 3 1, $d = 3.46 \text{ \AA}$; $Ce_{18}(C_2)_9Cl_{11}$: -1 0 3, 1 0 4, $d = 4.15 \text{ \AA}$, 1 2 4, -1 -1 5, $d = 2.95 \text{ \AA}$, 0 -3 2, $d = 2.41 \text{ \AA}$ und $Ce_{26}(C_2)_{13}Cl_{16}$: 0 10 1, $d = 4.19 \text{ \AA}$, -2 9 1, $d = 3.11 \text{ \AA}$. Einkristalle wurden unter getrocknetem Petroleum ausgesucht, unter Argon in Glaskapillaren eingeschmolzen und mittels Präzessions-Aufnahmen auf ihre Qualität überprüft. Intensitätsdaten wurden mit einem Flächendetektor-

Tabelle 1. Kristalldaten und Strukturverfeinerung für $Pr_8(C_2)4Cl_5$, $Pr_{14}(C_2)_7Cl_9$ und $Ce_{18}(C_2)_9Cl_{11}$.

Summenformel	$Pr_8(C_2)4Cl_5$	$Pr_{14}(C_2)_7Cl_9$	$Ce_{18}(C_2)_9Cl_{11}$
Molmasse /g·mol ⁻¹	1400.61	2459.93	3128.29
Farbe, Form	golden, Latten	golden, Latten	golden, Latten
Temperatur /K		293(2)	
Wellenlänge /Å		0.71073 (Mo- K_{α})	
Kristallsystem	monoklin	monoklin	triklin
Raumgruppe	$P2_1/c$	Pc	$P\bar{1}$
Zelldimensionen /Å, °	$a = 7.617(1)$ $b = 16.689(2)$ $c = 6.769(1)$ $\beta = 103.94(1)$	$a = 7.611(2)$ $b = 29.392(6)$ $c = 6.764(1)$ $\beta = 103.90(3)$	$a = 6.771(1)$ $b = 7.657(2)$ $c = 18.980(4)$ $\alpha = 88.90(3)$ $\beta = 80.32(3)$ $\gamma = 76.09(3)$
Zellvolumen /Å ³	835.1(2)	1468.7(5)	941.3(3)
Formeleinheiten pro Zelle	2	2	1
Berechnete Dichte /g·cm ⁻³	5.570	5.562	5.519
Absorptionskoeffizient /mm ⁻¹	23.633	23.539	22.040
$F(000)$	1210	2126	1339
Kristallgröße /mm	$0.08 \times 0.05 \times 0.03$	$0.67 \times 0.27 \times 0.02$	$0.23 \times 0.08 \times 0.03$
Diffraktometer		IPDS II (<i>Stoe</i> , Darmstadt)	
Gemessener θ -Bereich /°	$2.44 \leq \theta \leq 25.97$	$2.08 \leq \theta \leq 29.23$	$2.18 \leq \theta \leq 22.00$
Indexbereich	$-9 \leq h \leq 9$ $-20 \leq k \leq 20$ $-8 \leq l \leq 7$	$-10 \leq h \leq 10$ $-40 \leq k \leq 40$ $-8 \leq l \leq 9$	$-7 \leq h \leq 6$ $-8 \leq k \leq 7$ $-19 \leq l \leq 19$
Anzahl d. gemessenen Reflexe	5768	13954	4301
Anzahl d. unabhängigen Reflexe	1640	7381	2184
Absorptionskorrektur	numerisch ^[12]	empirisch ^[13]	numerisch ^[12]
Max., min. Transmission	0.3484, 0.1548	0.213, 0.066	0.3466, 0.0692
Strukturlösung		Direkte Methoden ^[14]	
Verfeinerung		Vollmatrix-Least-Squares für F^2 ^[15]	
Daten / Restraints / Parameter	1640 / 0 / 97	7381 / 2 / 266	2184 / 0 / 170
Goodness-of-Fit für F^2	0.847	1.042	1.059
R -Werte [$I \geq 2\sigma(I)$]	$R1 = 0.0319$ $wR2 = 0.0430$	$R1 = 0.0658$ $wR2 = 0.1720$	$R1 = 0.0406$ $wR2 = 0.1002$
R -Werte (sämtliche Daten)	$R1 = 0.0667$, $wR2 = 0.0469$	$R1 = 0.0821$, $wR2 = 0.1846$	$R1 = 0.0517$ $wR2 = 0.1045$
Größtes Maximum / Minimum /e·Å ⁻³	1.220 / -1.817	12.163 / -5.044	2.171 / -2.607

Tabelle 2. Kristalldaten und Strukturverfeinerung für $\text{Pr}_{22}(\text{C}_2)_{11}\text{Cl}_{14}$, $\text{Ce}_{26}(\text{C}_2)_{13}\text{Cl}_{16}$ und $\text{Ce}_2(\text{C}_2)\text{Cl}$.

Summenformel	$\text{Pr}_{22}(\text{C}_2)_{11}\text{Cl}_{14}$	$\text{Ce}_{26}(\text{C}_2)_{13}\text{Cl}_{16}$	$\text{Ce}_2(\text{C}_2)\text{Cl}$
Molmasse /g·mol ⁻¹	3860.54	4522.58	339.71
Farbe, Form	golden, Plättchen	golden, Nadeln	golden, Plättchen
Temperatur /K		293(2)	
Wellenlänge /Å		0.71073 (Mo- K_α)	
Kristallsystem	monoklin	monoklin	monoklin
Raumgruppe	$P2_1/c$	$P2_1/c$	$C2/c$
Zelldimensionen /Å, °	$a = 7.612(2)$ $b = 46.127(9)$ $c = 6.761(1)$ $\beta = 103.92(3)$	$a = 7.664(2)$ $b = 54.249(11)$ $c = 6.796(1)$ $\beta = 103.98(3)$	$a = 14.573(3)$ $b = 4.129(1)$ $c = 6.696(1)$ $\beta = 101.37(3)$
Zellvolumen /Å ³	2304.0(8)	2741.8(10)	394.98(13)
Formeleinheiten pro Zelle	1	2	4
Berechnete Dichte /g·cm ⁻³	5.569	5.478	5.713
Absorptionskoeffizient /mm ⁻¹	23.573	21.865	23.192
$F(000)$	3336	3872	580
Kristallgröße /mm	$0.20 \times 0.08 \times 0.04$	$0.22 \times 0.06 \times 0.04$	$0.08 \times 0.06 \times 0.04$
Diffraktometer		IPDS II (<i>Stoe</i> , Darmstadt)	
Gemessener θ -Bereich /°	$1.77 \leq \theta \leq 23.50$ $-8 \leq h \leq 8$ $-51 \leq k \leq 51$ $-7 \leq l \leq 7$	$1.50 \leq \theta \leq 18.99$ $-6 \leq h \leq 6$ $-49 \leq k \leq 49$ $-6 \leq l \leq 5$	$2.85 \leq \theta \leq 29.94$ $-20 \leq h \leq 20$ $-5 \leq k \leq 5$ $-9 \leq l \leq 9$
Indexbereich			
Anzahl d. gemessenen Reflexe	11856	7290	1852
Anzahl d. unabhängigen Reflexe	3397	2190	569
Absorptionskorrektur	numerisch ^[12]	numerisch ^[12]	numerisch ^[12]
Max., min. Transmission	0.2782, 0.0723	0.984, 0.381	0.2847, 0.084
Strukturlösung		Direkte Methoden ^[14]	
Verfeinerung		Vollmatrix-Least-Squares für F^2 ^[15]	
Daten / Restraints / Parameter	3397 / 0 / 208	2190 / 0 / 243	569 / 0 / 20
Goodness-of-Fit für F^2	0.977	0.913	1.100
R -Werte [$I \geq 2\sigma(I)$]	$R1 = 0.0308$ $wR2 = 0.0695$	$R1 = 0.0662$ $wR2 = 0.0981$	$R1 = 0.0319$ $wR2 = 0.0430$
R -Werte (sämtliche Daten)	$R1 = 0.0436$, $wR2 = 0.0728$	$R1 = 0.0911$ $wR2 = 0.1068$	$R1 = 0.0667$ $wR2 = 0.0469$
Größtes Maximum / Minimum /e·Å ⁻³	2.012 / -1.766	1.584 / -1.706	4.817 / -3.911

diffraktometer (*Stoe* IPDS II) mit Mo- K_α -Strahlung gesammelt. Einzelheiten zur Datensammlung und Strukturverfeinerung finden sich in Tabelle 1 und Tabelle 2, die verfeinerten Atomkoordinaten und isotrope Auslenkungsparameter in Tabelle 3 und Tabelle 4 und die wichtigsten Atomabstände in den Tabellen 5–9. Weitere Einzelheiten zur Kristallstrukturuntersuchung können beim Fachinformationszentrum Karlsruhe, 76344 Eggenstein-Leopoldshafen (Fax: +49-7247-808-666; E-Mail: crysdata@fiz-karlsruhe.de) unter Angabe der Hinterlegungsnummer CSD-420776 ($\text{Ce}_{26}(\text{C}_2)_{13}\text{Cl}_{16}$), CSD-420777 ($\text{Pr}_{14}(\text{C}_2)_7\text{Cl}_9$), CSD-420778 ($\text{Ce}_{18}(\text{C}_2)_9\text{Cl}_{11}$), CSD-420779 ($\text{Pr}_8(\text{C}_2)_4\text{Cl}_5$), CSD-422301 ($\text{Pr}_{22}(\text{C}_2)_{11}\text{Cl}_{14}$) und CSD-422300 ($\text{Ce}_2(\text{C}_2)\text{Cl}$) angefordert werden.

Ergebnisse und Diskussion

Monoklin in dem Raumgruppentyp $P2_1/c$ kristallisieren die Verbindungen $\text{Pr}_8(\text{C}_2)_4\text{Cl}_5$ (1), mit $a = 7.6169(12)$, $b = 16.689(2)$, $c = 6.7688(2)$ Å, $\beta = 103.94(1)$ °, $\text{Pr}_{22}(\text{C}_2)_{11}\text{Cl}_{14}$ (3) mit $a = 7.612(2)$, $b = 46.127(9)$, $c = 6.761(1)$ Å, $\beta = 103.92(3)$ ° und $\text{Ce}_{26}(\text{C}_2)_{13}\text{Cl}_{16}$ (9) mit $a = 7.6644(15)$, $b = 54.249(11)$, $c = 6.7956(14)$ Å, $\beta = 103.98(3)$ °, in Pc $\text{Pr}_{14}(\text{C}_2)_7\text{Cl}_9$ (2) mit $a = 7.6134(15)$, $b = 29.432(6)$, $c = 6.7705(14)$ Å, $\beta = 104.00(3)$ °, in $C2/c$ $\text{Ce}_2(\text{C}_2)\text{Cl}$ (4) mit $a = 14.573(3)$, $b = 4.129(1)$, $c = 6.696(1)$ Å, $\beta = 101.37(3)$ ° und $\text{Ln}_2(\text{C}_2)\text{Br}$ mit $a = 15.313(5)$,

b = 4.193(2), c = 6.842(2) Å, $\beta = 100.53(3)$ ° ($\text{La}_2(\text{C}_2)_2\text{Br}$ (5)), a = 15.120(3), b = 4.179(1), c = 6.743(2) Å, $\beta = 101.09(3)$ ° ($\text{Ce}_2(\text{C}_2)_2\text{Br}$ (6)), und a = 15.054(5), b = 4.139(1), c = 6.713(3) Å, $\beta = 101.08(3)$ ° ($\text{Pr}_2(\text{C}_2)_2\text{Br}$ (7)), und $\text{Ce}_{18}(\text{C}_2)_9\text{Cl}_{11}$ (8) triklin in $P\bar{1}$ mit a = 6.7705(14), b = 7.6573(15), c = 18.980(4) Å, $\alpha = 88.90(3)$ °, $\beta = 80.32(3)$ °, $\gamma = 76.09(3)$ °. $\text{Ce}_2(\text{C}_2)_2\text{Cl}$ und die Bromide $\text{Ln}_2(\text{C}_2)_2\text{Br}$ sind mit $\text{La}_2(\text{C}_2)_2\text{Cl}$ isotyp,^[7] $\text{Pr}_8(\text{C}_2)_4\text{Cl}_5$, $\text{Pr}_{14}(\text{C}_2)_7\text{Cl}_9$ und $\text{Pr}_{22}(\text{C}_2)_{11}\text{Cl}_{14}$ mit den formelgleichen Lanthanchloriden.^[7] Die Gitterkonstanten der Verbindungen (5–7) wurden aus Pulverdaten verfeinert, die Kristallstrukturen von (1–4, 8, 9) aus Einkristalluntersuchungen bestimmt (Tabelle 1 und Tabelle 2).

In Abbildung 1 sind die Strukturen von $\text{Pr}_8(\text{C}_2)_4\text{Cl}_5$ (a), $\text{Pr}_{14}(\text{C}_2)_7\text{Cl}_9$ (b), $\text{Pr}_{22}(\text{C}_2)_{11}\text{Cl}_{14}$ (d), $\text{Ce}_{26}(\text{C}_2)_{13}\text{Cl}_{16}$ (e) längs [010] und die von $\text{Ce}_{18}(\text{C}_2)_9\text{Cl}_{11}$ (c) längs [100] als Projektionen dargestellt. Die Ln -Atome bilden verzerrte durch C_2 -Gruppen zentrierte Oktaeder. Je 3, 4 oder 5 von diesen sind über gemeinsame Kanten zu Bändern verknüpft, die dann zu den in der Abbildung gezeigten gewellten Schichten kondensiert sind. Die Wellung der Schichten entsteht durch Auf- (+) bzw. Abwärtsneigung (–) aneinander stoßender Bänder. Einzelschichten aus Chloratomen verknüpfen die $\text{Ln}-(\text{C}_2)-\text{Ln}$ -Pakete. In

Tabelle 8. Kürzeste Abstände /Å für $\text{Ce}_{26}(\text{C}_2)_{13}\text{Cl}_{16}$ und $\text{Ce}_2(\text{C}_2)\text{Cl}$ berechnet mit den Gitterparametern der Einkristallmessung; in Klammern Standardabweichungen.

$\text{Ce}_{26}(\text{C}_2)_{13}\text{Cl}_{16}$			
Ce1–Ce1	3.877(2)	Ce7–Ce7	4.270(2)
Ce1–Ce1	3.877(2)	Ce7–Ce7	4.270(2)
Ce1–Ce7	3.715(2)	Ce7–Ce8	3.839(2)
Ce1–Ce7	3.800(2)	Ce7–Ce8	4.170(2)
Ce1–Ce8	3.511(2)	Ce7–Ce8	4.669(3)
Ce1–Ce11	3.898(2)	Ce7–Ce9	4.204(2)
Ce1–Ce11	4.013(2)	Ce7–Ce11	3.871(2)
Ce1–Ce11	4.173(2)	Ce7–Cl2	2.996(6)
Ce1–Ce12	4.257(2)	Ce7–Cl7	3.162(7)
Ce1–Cl2	2.959(6)	Ce7–Cl8	3.459(8)
Ce1–Cl2	3.012(6)	Ce7–C8	2.44(3)
Ce1–Cl7	3.267(7)	Ce7–C8	2.69(3)
Ce1–C8	2.62(3)	Ce7–C9	2.69(3)
Ce1–C8	2.72(3)	Ce7–C13	2.45(3)
Ce1–C9	2.67(3)		
Ce1–C9	2.75(3)	Ce8–Ce9	3.834(2)
Ce1–C10	2.73(3)	Ce8–Ce9	4.128(2)
Ce1–C13	2.66(3)	Ce8–Ce12	3.844(2)
		Ce8–Cl6	3.026(7)
Ce2–Ce3	3.783(2)	Ce8–Cl7	3.181(7)
Ce2–Ce3	4.166(2)	Ce8–Cl8	3.043(7)
Ce2–Ce4	3.820(2)	Ce8–C2	2.46(3)
Ce2–Ce4	3.869(2)	Ce8–C8	2.93(3)
Ce2–Ce4	4.158(2)	Ce8–C9	2.70(3)
Ce2–Ce5	3.534(2)	Ce8–C10	2.66(3)
Ce2–Ce10	4.651(2)	Ce8–C11	3.77(3)
Ce2–Ce13	3.850(3)	Ce8–C13	2.67(3)
Ce2–Ce13	4.176(3)		
Ce2–Cl3	3.139(7)	Ce9–Ce10	3.869(3)
Ce2–Cl5	3.070(7)	Ce9–Ce11	3.460(2)
Ce2–Cl5	3.257(7)	Ce9–Ce12	3.776(2)
Ce2–C1	2.39(2)	Ce9–Cl4	2.916(7)
Ce2–C3	2.62(3)	Ce9–Cl6	3.003(7)
Ce2–C4	2.66(3)	Ce9–Cl8	3.145(7)
Ce2–C6	2.92(3)	Ce9–C2	2.67(3)
Ce2–C7	2.68(3)	Ce9–C5	2.43(3)
Ce3–Ce4	3.478(2)	Ce9–C10	2.69(3)
Ce3–Ce4	3.789(2)	Ce9–C13	2.70(3)
Ce3–Ce4	4.115(2)		
Ce3–Ce5	3.885(2)	Ce10–Ce11	4.199(2)
Ce3–Ce5	4.160(2)	Ce10–Ce12	3.832(3)
Ce3–Ce6	3.986(2)	Ce10–Ce12	4.174(3)
Ce3–Ce13	3.841(3)	Ce10–Ce13	4.238(3)
Ce3–Cl1	2.916(7)	Ce10–Ce13	4.252(3)
Ce3–Cl3	3.035(7)	Ce10–Cl4	2.991(7)
Ce3–Cl5	3.184(6)	Ce10–Cl6	3.161(7)
Ce3–C1	2.55(3)	Ce10–Cl8	3.441(8)
Ce3–C1	2.73(3)	Ce10–C5	2.64(3)
Ce3–C3	2.69(3)	Ce10–C6	2.41(3)
Ce3–C4	2.45(3)	Ce10–C11	2.34(3)
Ce3–C7	2.70(3)	Ce10–C12	2.71(3)
Ce4–Ce4	3.787(3)	Ce11–Ce12	3.836(2)
Ce4–Ce5	4.181(2)	Ce11–Ce12	4.122(2)
Ce4–Ce13	4.282(3)	Ce11–Cl2	2.917(6)
Ce4–Cl3	2.985(7)	Ce11–Cl7	3.001(7)
Ce4–Cl5	3.016(7)	Ce11–Cl8	3.188(7)
Ce4–Cl5	3.204(6)	Ce11–C2	2.64(3)
Ce4–C1	2.64(2)	Ce11–C9	2.36(3)
Ce4–C1	2.69(2)	Ce11–C10	2.70(3)
Ce4–C3	2.43(3)	Ce11–C11	2.70(3)
Ce4–C3	2.64(3)	Ce11–C13	2.67(3)
Ce4–C7	2.76(3)		
Ce5–Ce6	3.871(3)	Ce12–Ce13	4.625(3)
Ce5–Ce6	3.876(3)	Ce12–Cl6	3.194(7)
Ce5–Ce9	4.002(2)	Ce12–Cl7	3.036(7)
Ce5–Ce10	3.707(2)	Ce12–Cl8	3.042(7)
Ce5–Ce13	3.795(3)	Ce12–C2	2.64(3)
Ce5–Cl1	3.026(7)	Ce12–C5	2.65(3)
Ce5–Cl3	3.273(7)	Ce12–C10	2.35(3)
Ce5–Cl4	2.961(7)	Ce12–C11	2.74(3)
Ce5–C3	2.74(3)	Ce12–C12	2.85(3)
Ce5–C4	2.72(3)	Ce13–Cl1	2.977(7)
Ce5–C5	2.77(3)	Ce13–Cl3	3.172(7)
Ce5–C6	2.59(3)	Ce13–Cl5	3.637(7)
Ce5–C7	2.70(3)	Ce13–C4	2.57(3)
Ce5–C12	2.81(3)	Ce13–C6	2.72(3)
		Ce13–C7	2.36(3)

Tabelle 8. Fortsetzung

$\text{Ce}_{26}(\text{C}_2)_{13}\text{Cl}_{16}$			
Ce6–Ce8	4.251(2)	Ce13–C12	2.40(3)
Ce6–Ce9	3.900(2)	C1–C1	1.32(5)
Ce6–Ce9	4.161(2)	C2–C11	1.32(3)
Ce6–Ce10	3.817(3)	C3–C7	1.28(4)
Ce6–Ce12	3.512(2)	C4–C6	1.24(3)
Ce6–Ce13	3.703(3)	C5–C12	1.29(4)
Ce6–Cl1	2.970(7)	C8–C9	1.34(4)
Ce6–Cl4	3.004(7)	C10–C13	1.30(4)
Ce6–Cl6	3.248(7)		
Ce6–C2	2.72(3)		
Ce6–C4	2.79(3)		
Ce6–C5	2.68(3)		
Ce6–C6	2.76(2)		
Ce6–C11	2.71(3)		
Ce6–C12	2.60(3)		
$\text{Ce}_2(\text{C}_2)\text{Cl}$			
Ce1–Ce1	3.644(1)		
Ce1–Ce1	3.725(1)		
Ce1–Ce1	3.889(1)		
Ce1–Ce1	4.129(1)		
Ce1–Ce1	4.176(1)		
Ce1–Cl1	3.104(1)		
Ce1–Cl1	3.119(3)		
Ce1–Cl1	3.210(3)		
Ce1–C1	2.33(1)		
Ce1–C1	2.60(1)		
Ce1–C1	2.64(1)		
Ce1–C1	2.75(1)		
Ce1–C1	2.76(1)		
C1–C1	1.32(2)		

sofern lassen sich die Verbindungen in ionischer Schreibweise formulieren als $(\text{Ce}^{3+})_{18}^{54+}(\text{C}_2^4)^{36-}\text{Cl}_{11}^{11-}\cdot 7\text{e}^-$, bzw $(\text{Ce}^{3+})_{26}^{78+}(\text{C}_2^4)^{13}^{52-}\text{Cl}_{16}^{16-}\cdot 10\text{e}^-$, wodurch metallisches Verhal-

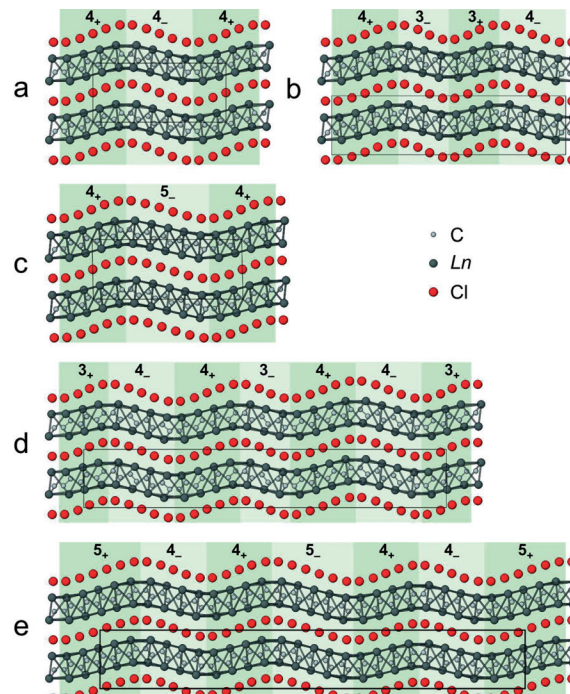


Abbildung 1. Projektive Darstellung der Kristallstrukturen von a) $\text{Pr}_8(\text{C}_2)_4\text{Cl}_5$, b) $\text{Pr}_{14}(\text{C}_2)_7\text{Cl}_9$, c) $\text{Ce}_{18}(\text{C}_2)_9\text{Cl}_{11}$, d) $\text{Pr}_{22}(\text{C}_2)_{11}\text{Cl}_{14}$, und e) $\text{Ce}_{26}(\text{C}_2)_{13}\text{Cl}_{16}$; a), b), d), e) längs [010], c) längs [100], C: schwarz, X: rot, C: hellgrau.

ten resultiert. Dies bestätigen exemplarisch Messungen der elektrischen Leitfähigkeit an $\text{Ce}_{18}(\text{C}_2)_9\text{Cl}_{11}$.

Gespannt darf man sein, ob sich weitere Phasen unterschiedlicher Wellenlänge und Verknüpfung bilden. Daneben muss mit interlamellaren Verwachsungen und damit lokaler Änderung der Zusammensetzung gerechnet werden. Zur strukturellen Charakterisierung werden dabei neben röntgenographischen vor allem hochauflösende elektronenmikroskopische als sich gegenseitig unterstützende Methoden notwendig sein. Der Schlüssel liegt im Finden geeigneter Wege zur Präparation.

Danksagung

Frau C. Kamella danken wir für die Anfertigung der Abbildungen, Herrn R. Eger für die Probenpräparationen und Herrn H. Gärttling für die Einkristallmessungen.

Literatur

- [1] A. Simon, Hj. Mattausch, G. J. Miller, W. Bauhofer, R. K. Kremer in: *Handbook on the Physics and Chemistry of Rare Earths* (Eds.: K. A. Gschneider Jr., L. Eyring), Vol. 15, Elsevier Science Publ., Amsterdam-London-New York-Tokio, **1991**, p. 191.

- [2] J. D. Corbett, *J. Chem. Soc., Dalton Trans.* **1996**, 12, 556.
[3] G. Meyer, *Chem. Rev.* **1988**, 88, 93.
[4] A. Simon, Hj. Mattausch, M. Ryazanov, R. K. Kremer, *Z. Anorg. Allg. Chem.* **2006**, 632, 919.
[5] A. Simon, C. Schwarz, W. Bauhofer, *J. Less-Common Met.* **1988**, 137, 343.
[6] C. Bauhofer, Hj. Mattausch, R. K. Kremer, A. Simon, *Z. Anorg. Allg. Chem.* **1995**, 621, 1501.
[7] Hj. Mattausch, A. Simon, L. Kienle, J. Köhler, C. Hoch, J. Nuss, *Z. Anorg. Allg. Chem.* **2008**, 634, 2765.
[8] G. Meyer, P. Ax, *Mater. Res. Bull.* **1982**, 17, 1447–1455.
[9] K. Ahn, B. J. Gibson, R. K. Kremer, Hj. Mattausch, A. Stolovits, A. Simon, *J. Phys. Chem.* **1999**, B103, 5446–5453.
[10] Th. B. Massalski, *Binary Alloy Phase Diagram*, 2. Ed. Vol. 1, pp. 833–835, **1990**.
[11] A. Simon, *J. Appl. Crystallogr.* **1970**, 3, 11–18.
[12] X-SHAPE, Crystal Optimisation for Numerical Absorption Correction, Revision 1.03, Stoe & Cie. GmbH, Darmstadt, Germany, **1998**.
[13] R. H. Blessing, *Acta Crystallogr. Sect. A* **1995**, 51, 33–38.
[14] G. M. Sheldrick, SHELXS, Program for the Solution of Crystal Structures, Universität Göttingen, Göttingen, Germany, **1997**.
[15] G. M. Sheldrick, SHELXL, Program for the Refinement of Crystal Structures, Universität Göttingen, Göttingen, Germany, **1997**.

Eingegangen: 28. Januar 2011

Online veröffentlicht: 31. März 2011